

Universidade Estadual de Campinas
Faculdade de Engenharia Mecânica

Controle de um Sistema Ponte Rolante
ES710 – Controle de Sistemas Mecânicos

Gabriel De Freitas Leite	216180
Matheus Santos Sano	222370

CAMPINAS, novembro de 2021

1.

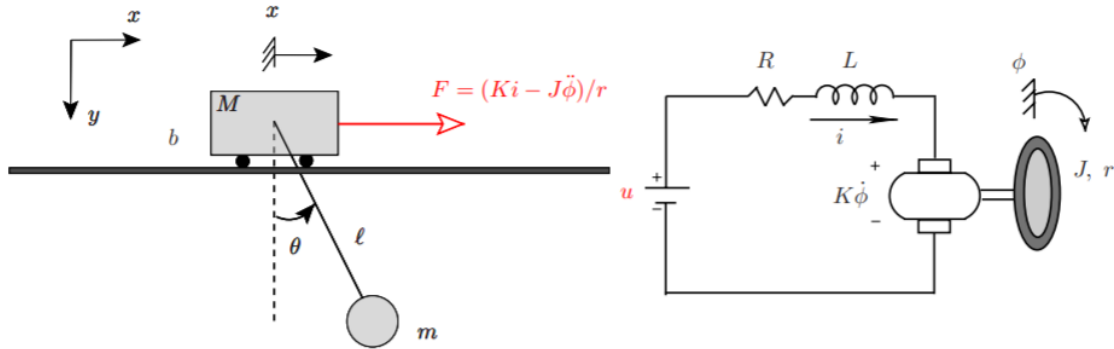


Figura 1: Sistema mecânico carro-pêndulo à esquerda e o sistema eletromecânico do motor à direita que transfere a força $F(t)$ para o carro.

A partir do sistema apresentado na Figura 1, o sistema mecânico carro-pêndulo foi modelado:

- Carro:

$$F + T \cdot \sin(\theta) - M\ddot{x} - b\dot{x} = 0 \quad (1)$$

- Pêndulo:

- Somatório das forças em Y:

$$\sum F_y = 0$$

$$T \cdot \cos(\theta) - mg + m \frac{d^2}{dt^2} (l \cdot \cos(\theta)) = 0$$

$$T \cdot \cos(\theta) - mg - ml \cdot \cos(\theta) \cdot \dot{\theta}^2 - ml \cdot \sin(\theta) \cdot \ddot{\theta} = 0 \quad (2)$$

- Somatório das forças em X:

$$\sum F_x = 0$$

$$T \cdot \sin(\theta) + m \frac{d^2}{dt^2} (x + l \cdot \sin(\theta)) = 0$$

$$T \cdot \sin(\theta) + m\ddot{x} - ml \cdot \sin(\theta) \cdot \dot{\theta}^2 + ml \cdot \cos(\theta) \cdot \ddot{\theta} = 0 \quad (3)$$

A partir das equações obtidas (1), (2) e (3), pode-se fazer a seguinte manipulação $-\sin(\theta) \cdot (2) + \cos(\theta) \cdot (3) = (4)$ obtendo a expressão:

$$m\ddot{x} \cdot \cos(\theta) + mg \cdot \sin(\theta) + ml\ddot{\theta} = 0$$

$$\ddot{x} \cdot \cos(\theta) + g \cdot \sin(\theta) + l\ddot{\theta} = 0 \quad (4)$$

Para obter a outra equação de movimento realiza-se outra manipulação por meio da subtração (1)-(3):

$$F - M\ddot{x} - b\dot{x} - (m\ddot{x} - ml \cdot \sin(\theta) \cdot \dot{\theta}^2 + ml \cdot \cos(\theta) \cdot \ddot{\theta}) = 0$$

$$F - (M + m)\ddot{x} - b\dot{x} + ml(\sin(\theta) \cdot \dot{\theta}^2 - \cos(\theta) \cdot \ddot{\theta}) = 0 \quad (5)$$

O sistema eletromecânico do motor apresentado na Figura 1, por sua vez, é modelado por meio da 2ª Lei de Kirchhoff, considerando que a indutância do motor é desprezível:

$$u = Ri + L \frac{di}{dt} + K\dot{\phi} \quad , \quad L \approx 0$$

$$u = Ri + K\dot{\phi} \rightarrow i = \frac{u - K\dot{\phi}}{R}$$

A partir da equação da corrente acima, pode-se obter a força gerada pelo motor F em função de $x(t)$ e da entrada $u(t)$:

$$F = \frac{(K \cdot i - J\ddot{\phi})}{r}$$

$$F = K \cdot \frac{u - K\dot{\phi}}{R \cdot r} - \frac{J\ddot{\phi}}{r}$$

Como $x(t) = r\phi(t)$:

$$F = K \cdot \frac{u - \frac{K\dot{x}}{r}}{R \cdot r} - \frac{J\ddot{x}}{r^2} = \frac{K}{Rr}u - \frac{K^2}{Rr^2}\dot{x} - \frac{J\ddot{x}}{r^2} = \frac{Kru - K^2\dot{x} - RJ\ddot{x}}{Rr^2}$$

O modelo matemático não linear apresentado na Figura 01 é apresentado pelas equações (4) e (5):

$$\ddot{x} \cdot \cos(\theta) + g \cdot \sin(\theta) + l\ddot{\theta} = 0$$

$$F - (M + m)\ddot{x} - b\dot{x} + ml(\sin(\theta) \cdot \dot{\theta}^2 - \cos(\theta) \cdot \ddot{\theta}) = 0 \quad , \quad F = \frac{Kru - K^2\dot{x} - RJ\ddot{x}}{Rr^2}$$

2.

Para representar o modelo não linear obtido no item 1 em espaço de estado, foi considerado que $y(t) = x(t)$ e que o vetor de estado:

$$\xi = \begin{bmatrix} x \\ \dot{x} \\ \theta \\ \dot{\theta} \end{bmatrix} = \begin{bmatrix} \xi_1 \\ \xi_2 \\ \xi_3 \\ \xi_4 \end{bmatrix}$$

$$\ddot{x} \cdot \cos(\theta) + g \cdot \sin(\theta) + l\ddot{\theta} = 0$$

$$\frac{Kru - K^2\dot{x} - Rj\ddot{x}}{Rr^2} - (M + m)\ddot{x} - b\dot{x} + ml(\sin(\theta) \cdot \dot{\theta}^2 - \cos(\theta) \cdot \ddot{\theta}) = 0$$

A partir do modelo não linear foi obtido a sua representação de estado:

$$\frac{Kru - K^2\dot{\xi}_2 - Rj\dot{\xi}_2}{Rr^2} - (M + m)\ddot{\xi}_2 - b\dot{\xi}_2 + ml(\sin(\xi_3) \cdot \xi_4^2 - \cos(\xi_3) \cdot \dot{\xi}_4) = 0$$

$$\dot{\xi}_2 \cdot \cos(\xi_3) + g \cdot \sin(\xi_3) + l\dot{\xi}_4 = 0$$

$$\begin{bmatrix} M + m + \frac{J}{r^2} & ml \cdot \cos(\xi_3) \\ \cos(\xi_3) & l \end{bmatrix} \begin{bmatrix} \dot{\xi}_2 \\ \dot{\xi}_4 \end{bmatrix} = \begin{bmatrix} \frac{K}{Rr}u - \frac{K^2}{Rr^2}\xi_2 + ml \cdot \sin(\xi_3) \cdot \xi_4^2 - b\xi_2 \\ -g \cdot \sin(\xi_3) \end{bmatrix}$$

Para facilitar as contas, consideram-se as matrizes A e B:

$$A \begin{bmatrix} \dot{\xi}_2 \\ \dot{\xi}_4 \end{bmatrix} = B$$

$$A = \begin{bmatrix} M + m + \frac{J}{r^2} & ml \cdot \cos(\xi_3) \\ \cos(\xi_3) & l \end{bmatrix}$$

$$B = \begin{bmatrix} \frac{K}{Rr}u - \frac{K^2}{Rr^2}\xi_2 + ml \cdot \sin(\xi_3) \cdot \xi_4^2 - b\xi_2 \\ -g \cdot \sin(\xi_3) \end{bmatrix}$$

$$\begin{bmatrix} \dot{\xi}_2 \\ \dot{\xi}_4 \end{bmatrix} = A^{-1}B$$

Sendo:

$$A^{-1} = \frac{1}{\det(A)} \begin{bmatrix} l & -ml \cdot \cos(\xi_3) \\ -\cos(\xi_3) & M + m + \frac{J}{r^2} \end{bmatrix} \quad \det(A) = l(m + M + \frac{J}{r^2} - m \cdot \cos(\xi_3)^2)$$

$$\begin{bmatrix} \dot{\xi}_2 \\ \dot{\xi}_4 \end{bmatrix} = A^{-1}B = \frac{1}{\det(A)} \begin{bmatrix} AB_1 \\ AB_2 \end{bmatrix}$$

$$AB_1 = \frac{-l(K^2 + br^2R)\xi_2 + Klr u}{r^2R} + ml(l\xi_4^2 + g \cdot \cos(\xi_3)) \sin(\xi_3)$$

$$AB_2 = -g \left(m + M + \frac{J}{r^2} \right) \sin(\xi_3) - \cos(\xi_3) \left(\frac{-(K^2 + br^2R)\xi_2 + Kru}{r^2R} + ml \cdot \sin(\xi_3) \cdot \xi_4^2 \right)$$

Assim, a representação em espaço de estado do modelo não linear obtido no item 1 é:

$$\dot{\xi} = \begin{bmatrix} \dot{\xi}_1 \\ \dot{\xi}_2 \\ \dot{\xi}_3 \\ \dot{\xi}_4 \end{bmatrix} = \begin{bmatrix} \xi_2 \\ \frac{AB_1}{\det(A)} \\ \xi_4 \\ \frac{AB_2}{\det(A)} \end{bmatrix},$$

$$AB_1 = \frac{-l(K^2 + br^2R)\xi_2 + Klr u}{r^2R} + ml(l\xi_4^2 + g \cdot \cos(\xi_3)) \sin(\xi_3)$$

$$AB_2 = -g \left(m + M + \frac{J}{r^2} \right) \sin(\xi_3) - \cos(\xi_3) \left(\frac{-(K^2 + br^2R)\xi_2 + Kru}{r^2R} + ml \cdot \sin(\xi_3) \cdot \xi_4^2 \right)$$

$$\det(A) = l \left(m + M + \frac{J}{r^2} - m \cdot \cos(\xi_3)^2 \right)$$

3.

O modelo não linear obtido no item 1 é:

$$\ddot{x} \cdot \cos(\theta) + g \cdot \sin(\theta) + l\ddot{\theta} = 0$$

$$\frac{Kru - K^2\dot{x} - RJ\ddot{x}}{Rr^2} - (M + m)\ddot{x} - b\dot{x} + ml(\sin(\theta) \cdot \dot{\theta}^2 - \cos(\theta) \cdot \ddot{\theta}) = 0$$

Para linearizar um sistema $f(x, y, z)$ utiliza-se a fórmula a seguir:

$$f(x, y, z) = f(x_o, y_o, z_o) + \left. \frac{\partial f}{\partial x} \right|_{P_o} (x - x_o) + \left. \frac{\partial f}{\partial y} \right|_{P_o} (y - y_o) + \left. \frac{\partial f}{\partial z} \right|_{P_o} (z - z_o)$$

$$P_o = (x_o, y_o, z_o)$$

Portanto, sendo os pontos de equilíbrio do sistema $f(\dot{x}, \ddot{x}, \theta, \dot{\theta}, \ddot{\theta})$ e $P_o = (0,0,0,0,0)$, o modelo acima é linearizado em torno de P_o :

$$\begin{aligned} \left(M + m + \frac{J}{r^2}\right)\ddot{x} + ml\ddot{\theta} + \left(b + \frac{K^2}{Rr^2}\right)\dot{x} &= \frac{K}{Rr}u \\ \ddot{x} + g\theta + l\ddot{\theta} &= 0 \end{aligned}$$

4.

Na representação do modelo linearizado obtido no item 3 em espaço de estado, foram considerados a saída $y(t) = x(t)$ e o vetor de estado:

$$\xi = \begin{bmatrix} x \\ \dot{x} \\ \theta \\ \dot{\theta} \end{bmatrix} = \begin{bmatrix} \xi_1 \\ \xi_2 \\ \xi_3 \\ \xi_4 \end{bmatrix}$$

Dessa forma, a sua representação é:

$$\begin{aligned} \left(M + m + \frac{J}{r^2}\right)\dot{\xi}_2 + ml\xi_4 + \left(b + \frac{K^2}{Rr^2}\right)\xi_2 &= \frac{K}{Rr}u \\ \dot{\xi}_2 + g\xi_3 + l\xi_4 &= 0 \end{aligned}$$

Esse sistema matemático pode ser representado na sua forma matricial:

$$\begin{aligned} \begin{bmatrix} M + m + \frac{J}{r^2} & ml \\ 1 & l \end{bmatrix} \begin{bmatrix} \dot{\xi}_2 \\ \dot{\xi}_4 \end{bmatrix} &= \begin{bmatrix} \frac{K}{Rr}u - \left(b + \frac{K^2}{Rr^2}\right)\xi_2 \\ -g\xi_3 \end{bmatrix} \\ \begin{bmatrix} \dot{\xi}_2 \\ \dot{\xi}_4 \end{bmatrix} &= \frac{1}{l\left(M + \frac{J}{r^2}\right)} \begin{bmatrix} l & -ml \\ -1 & M + m + \frac{J}{r^2} \end{bmatrix} \begin{bmatrix} \frac{K}{Rr}u - \left(b + \frac{K^2}{Rr^2}\right)\xi_2 \\ -g\xi_3 \end{bmatrix} \\ \begin{bmatrix} \dot{\xi}_2 \\ \dot{\xi}_4 \end{bmatrix} &= \frac{1}{l\left(M + \frac{J}{r^2}\right)} \begin{bmatrix} gml\xi_3 - l\left(b + \frac{K^2}{r^2R}\right)\xi_2 + \frac{Kl}{rR}u \\ \left(K^2 + br^2R\right)\xi_2 - g\left(J + (m + M)r^2\right)R\xi_3 - Kru \end{bmatrix} \end{aligned}$$

Assim, a representação em espaço de estado do modelo matemático linearizado é:

$$\begin{aligned}\dot{\xi}(t) &= A\xi(t) + Bu(t) \\ x(t) &= C\xi(t) + Du(t)\end{aligned}$$

$$A = \begin{bmatrix} 0 & 1 & 0 & 0 \\ 0 & \frac{-(b + \frac{K^2}{r^2 R})}{M + \frac{J}{r^2}} & \frac{gm}{M + \frac{J}{r^2}} & 0 \\ 0 & 0 & 0 & 1 \\ 0 & \frac{\frac{K^2}{r^2 R} + b}{l(M + \frac{J}{r^2})} & \frac{-g(M + m + \frac{J}{r^2})}{l(M + \frac{J}{r^2})} & 0 \end{bmatrix}$$

$$B = \begin{bmatrix} 0 \\ \frac{K}{rR(M + \frac{J}{r^2})} \\ 0 \\ \frac{-K}{lrR(M + \frac{J}{r^2})} \end{bmatrix}$$

$$C = [1 \quad 0 \quad 0 \quad 0] \quad D = [0]$$

5.

Antes de projetar o controlador $C(s)$, foram feitas as substituições dos parâmetros nas matrizes obtidas no item 4 para que o sistema linearizado seja representado em espaço de estado na forma numérica:

$$A = \begin{bmatrix} 0 & 1 & 0 & 0 \\ 0 & -5,032 & 1,911 & 0 \\ 0 & 0 & 0 & 1 \\ 0 & 15,239 & -35,496 & 0 \end{bmatrix} \quad B = \begin{bmatrix} 0 \\ 0,999 \\ 0 \\ -3,025 \end{bmatrix}$$

A partir das matrizes A, B, C e D foi obtida a equação da planta por meio da função do MATLAB:

$$G = tf(ss(A, B, C, D))$$

Assim, a equação da planta encontrada a partir da representação em estado do sistema linearizado é:

$$G(s) = \frac{0,999 \cdot s^2 + 29,67}{s^4 + 5,032 \cdot s^3 + 35,5 \cdot s^2 + 149,5 \cdot s}$$

Vale ressaltar que a presença de um polo em zero na planta já é suficiente para que o primeiro requisito de desempenho seja satisfeito, ou seja, o erro será nulo para entrada degrau. Além disso, pelo diagrama de blocos em malha fechada apresentado na Figura 2 foi possível obter a função de transferência $F(s)$ do sistema.

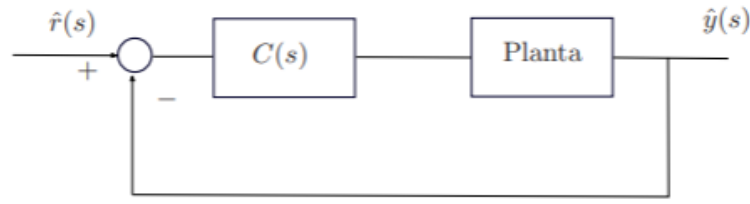


Figura 2: Diagrama de blocos em malha fechada que apresenta a saída $\hat{y}(t)$, a entrada $\hat{r}(t)$, o controlador $C(s)$ e a Planta $G(s)$.

A função de transferência do sistema é:

$$F(s) = \frac{\hat{y}(s)}{\hat{r}(s)} = \frac{C(s)G(s)}{1 + C(s)G(s)}$$

Após a análise do tempo de estabilização, do fator de amortecimento e do esforço de controle para diferentes controladores no lugar das raízes, foi obtido o controlador a seguir, que satisfaz todos os requisitos de desempenho exigidos:

$$C(s) = \frac{9}{16} \cdot \frac{(s + 16)}{(s + 3)}$$

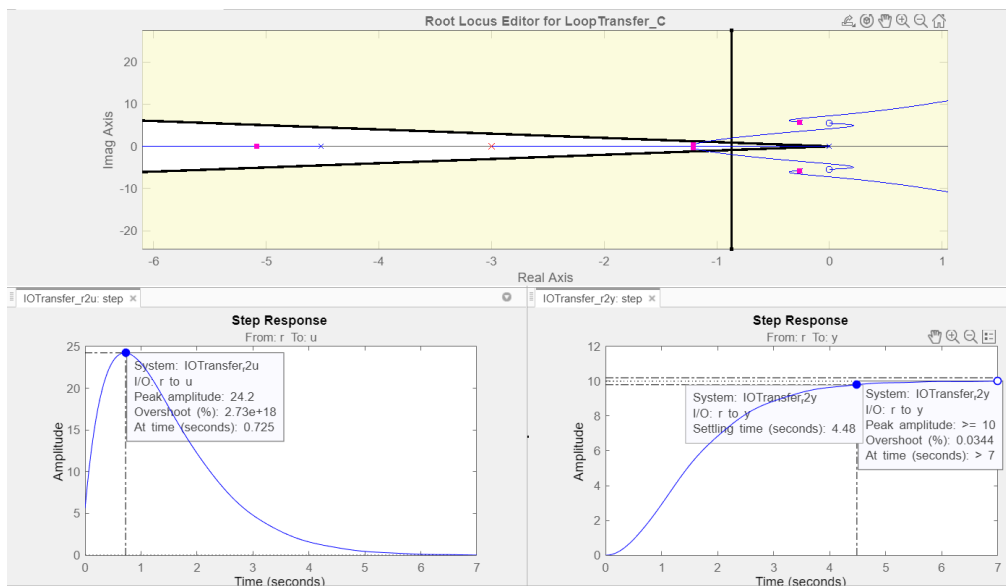


Figura 3: Gráfico do lugar das raízes para o sistema contínuo e não linear, cuja planta é $G(s)$ e seu controlador é $C(s)$.

Na Figura 4, pode-se observar o tempo de estabilização igual a 4,48 segundos e o Overshoot igual a 0.0344%. Sendo assim, o controlador respeita o requisito em que o tempo de estabilização seja menor do que 4,5 segundos e o requisito de amortecimento $\xi \geq \frac{\sqrt{2}}{2} \rightarrow \text{Overshoot} \leq 4.3\%$. Ademais no gráfico apresentado na Figura 5, pode-se

visualizar que o esforço de controle é igual a 24,2 V e, portanto, respeita os requisitos de desempenho, sendo inferior a 25 V.

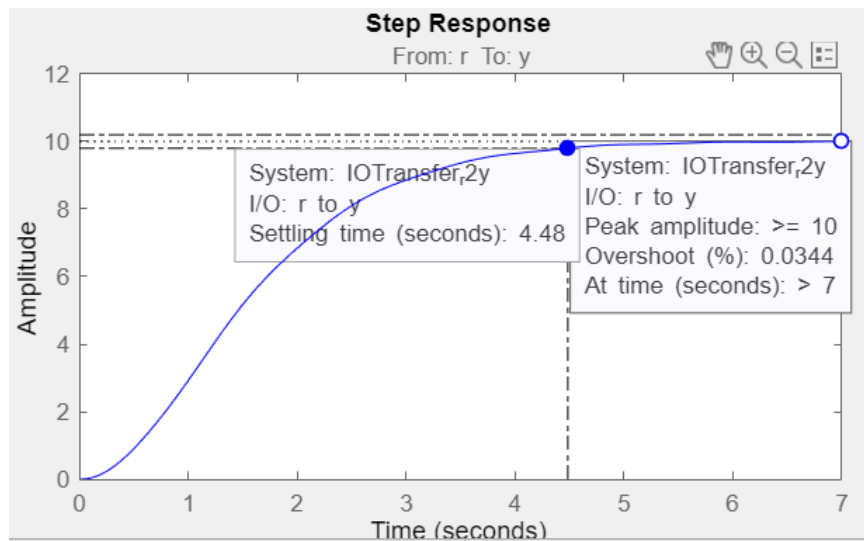


Figura 4: Identificação do ponto em que ocorre a estabilização do sistema linearizado e seu Overshoot. O tempo de estabilização presente neste ponto é de 4,48 segundos e Overshoot é de 0.0344%.

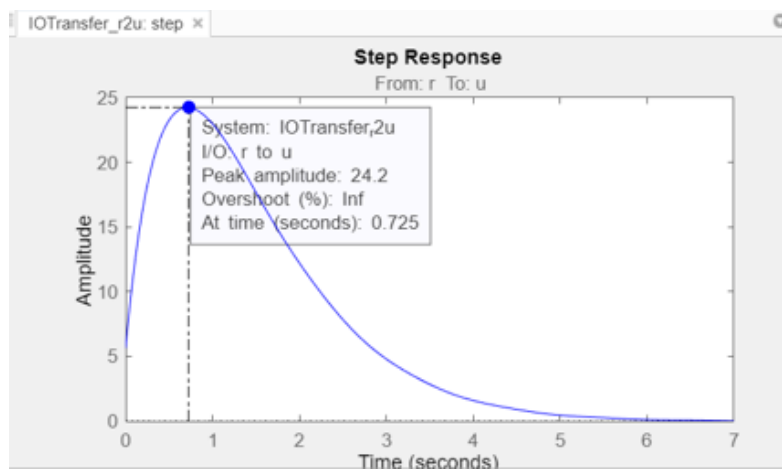


Figura 5: Identificação do ponto em que o esforço de controle é máximo (24,2 V).

6.

A partir do ponto no qual o diagrama polar de $C(j\omega)G(j\omega)$ cruza o eixo real, é obtida a margem de ganho em decibéis:

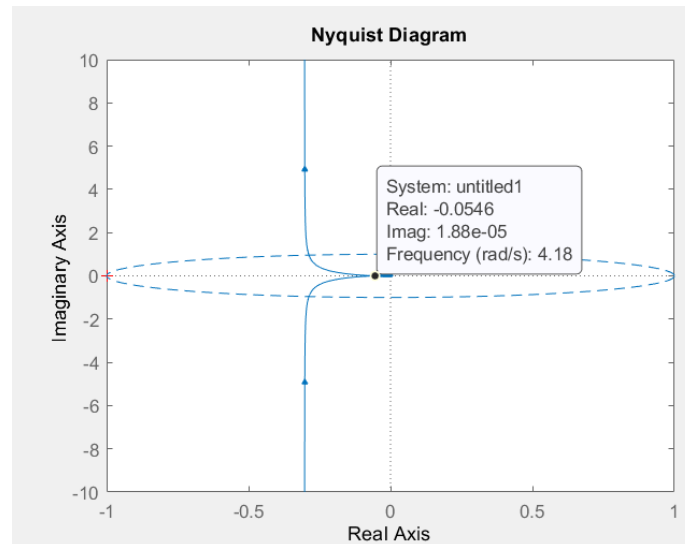


Figura 6: Diagrama polar de $C(j\omega)G(j\omega)$. O ponto indica onde o diagrama cruza o eixo real, ou seja, a parte imaginária de $C(j\omega)G(j\omega)$ é nula.

A margem de ganho MG_{dB} , em decibéis, é calculada:

$$MG = \frac{1}{0,0546} = 18,315$$

$$MG_{dB} = -20 \cdot \log(18,315)$$

$$MG_{dB} = -25,256 \text{ dB}$$

A margem de fase, por sua vez, também é obtida pelo diagrama polar no ponto em que o diagrama cruza com o círculo unitário apresentado na Figura 07.

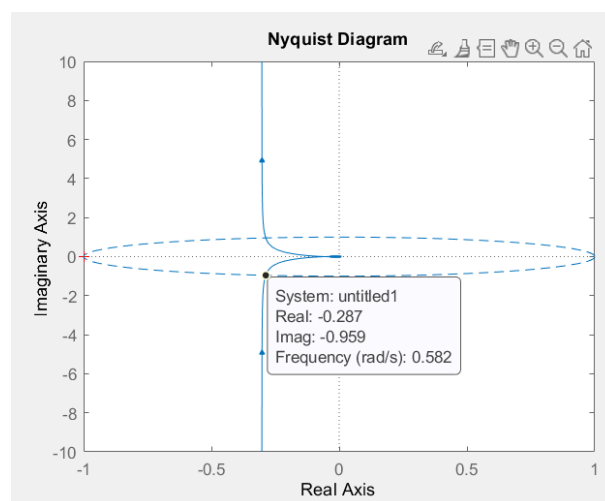


Figura 7: Diagrama polar de $C(j\omega)G(j\omega)$. O ponto indica onde o diagrama cruza o círculo unitário.

A partir do ponto indicado na Figura 7, foi calculada a margem de fase MF , em graus:

$$MF = \tan^{-1} \left(\frac{-0,959}{-0,287} \right)$$

$$MF = 73,3^\circ$$

Como forma de verificar se as margens calculadas pelo diagrama polar eram coerentes, foram obtidas também a margem de ganho e a margem de fase por meio dos diagramas de Bode.

Para obter MG por meio do diagrama de Bode apresentado na Figura 08, foi identificado primeiro a frequência na qual a fase é 180° , sendo ela $4,15 \text{ rad/s}$. Em seguida, foi apontada qual é a magnitude em decibéis na frequência de $4,15 \text{ rad/s}$. Como pode ser visto no diagrama da magnitude da Figura 08, a margem de ganho é $-25,2 \text{ dB}$, confirmando MG_{dB} obtido pelo diagrama polar.

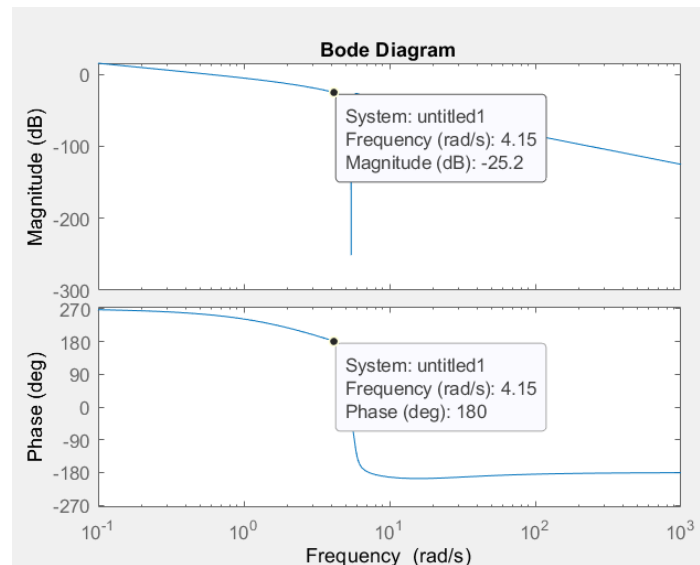


Figura 8: Diagramas de Bode da magnitude, em decibéis, e da fase, em graus.

Para obter a margem de fase, encontrou-se pelo diagrama da Figura 9 o ponto no qual a magnitude em decibéis era aproximadamente nula. Neste ponto, a frequência era de $0,579 \text{ rad/s}$. A margem de fase é igual a fase na frequência de $0,579 \text{ rad/s}$ somada com 180° . Dessa forma, calculou-se o MF:

$$MF = 253^\circ + 180^\circ = 433^\circ$$

Obtendo um MF no intervalo entre 0° e 360° :

$$MF = 433^\circ - 360^\circ = 73^\circ$$

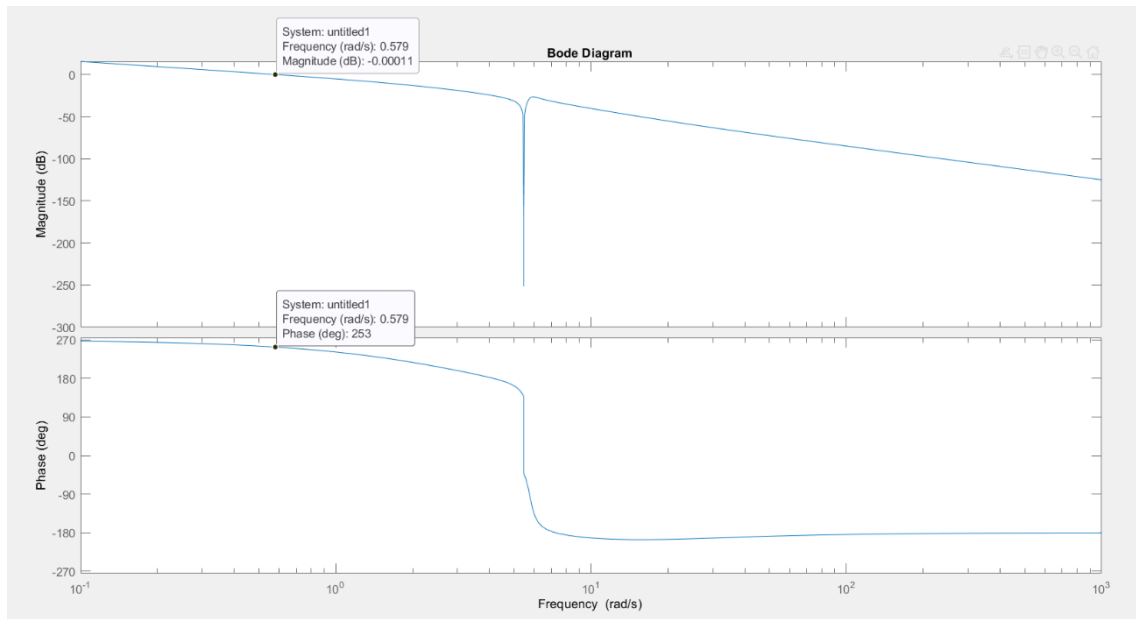


Figura 9: Diagramas de Bode da magnitude, em decibéis, e da fase, em graus.

Portanto, verifica-se que a margem de fase obtida por meio do diagrama de Bode é igual a margem de fase obtida pelo diagrama polar, logo, esse valor é coerente.

7.

Analisando as margens de ganho e de fase obtidas no item 6, pode-se concluir que o sistema em malha fechada é estável, pois $MF > 0$, $MG > 0$ e CG é estável. Ademais, pelo fato de a margem de fase ser maior do que 30° , o controlador tem um bom desempenho.

8.

Assim como foi feito para o caso linear, substituiu-se os parâmetros do sistema em valores numéricos na representação em espaço de estado feita no item 2:

$$\dot{\xi} = \begin{bmatrix} \dot{\xi}_1 \\ \dot{\xi}_2 \\ \dot{\xi}_3 \\ \dot{\xi}_4 \end{bmatrix} = \begin{bmatrix} \xi_2 \\ \frac{AB_1}{\det(A)} \\ \xi_4 \\ \frac{AB_2}{\det(A)} \end{bmatrix}$$

$$AB_1 = -5,4 \cdot 0,3302 \cdot \xi_2 + 1,0717 \cdot 0,3302 \cdot u + 0,209 \cdot 0,3302(0,3302 \cdot \xi_4^2 + 9,81 \cdot \cos(\xi_3)) \cdot \sin(\xi_3)$$

$$AB_2 = -9,81(0,209 + 1,0731) \sin(\xi_3) - \cos(\xi_3) (-5,4 \cdot \xi_2 + 1,0717u + 0,209 \cdot 0,3302 \cdot \sin(\xi_3) \cdot \xi_4^2)$$

$$\det(A) = 0,3302(0,209 + 1,0731 - 0,209 \cdot \cos(\xi_3))^2$$

Aplicando o controlador $C(s)$ neste sistema não linear, pode-se comparar as respostas obtidas pelo sistema não linear em relação ao sistema não linearizado:

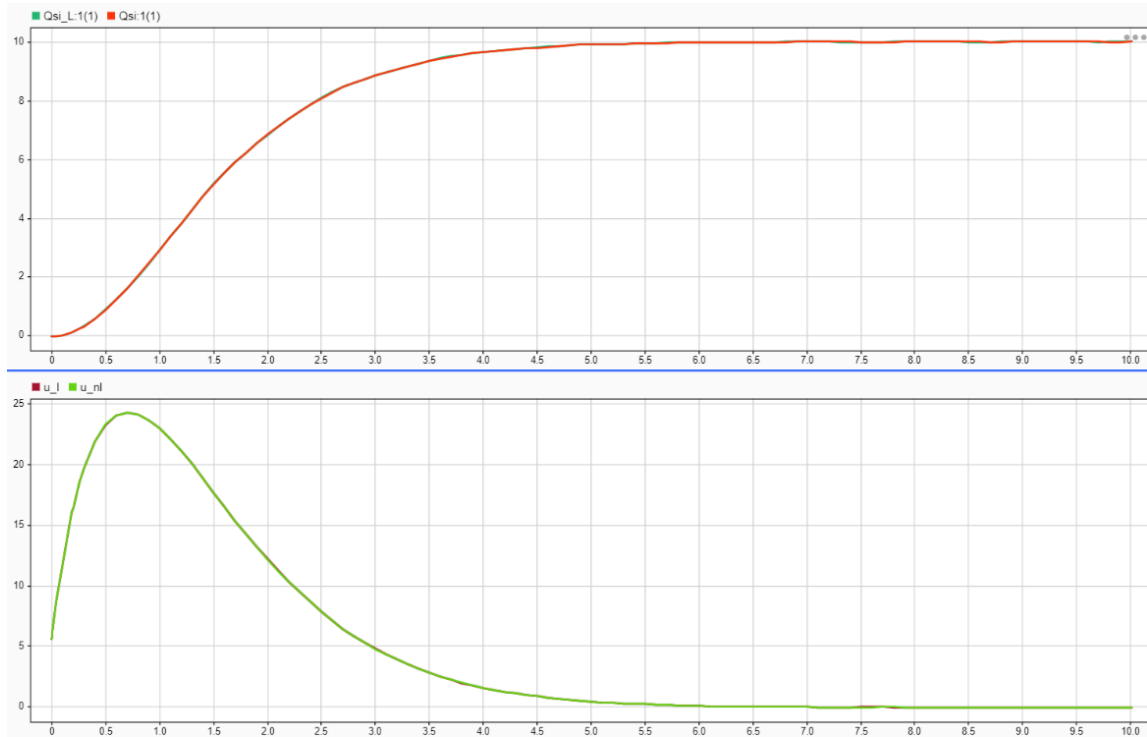


Figura 10: No gráfico de cima, $Q_{si_L}(1)$ (em verde) é a saída do sistema $y(t)$ para o sistema linearizado e $Q_{si}(1)$ (em laranja) é a saída para o não linearizado. No gráfico de baixo, u_l (em vinho) é a tensão no motor $u(t)$ no sistema linearizado e u_nl (em verde) é a mesma tensão no caso não linearizado.

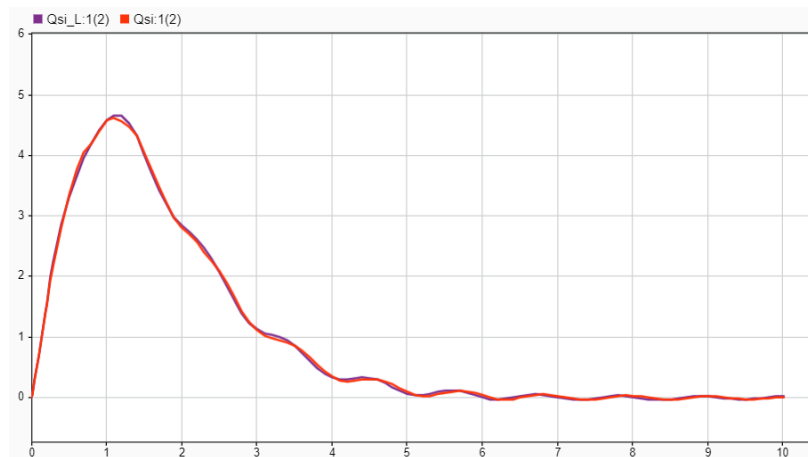


Figura 11: Gráfico em que $Q_{si_L}(2)$ (em roxo) é $\dot{x}(t)$ no sistema linearizado, e $Q_{si}(2)$ (em laranja) é $\dot{x}(t)$ no modelo não linear.

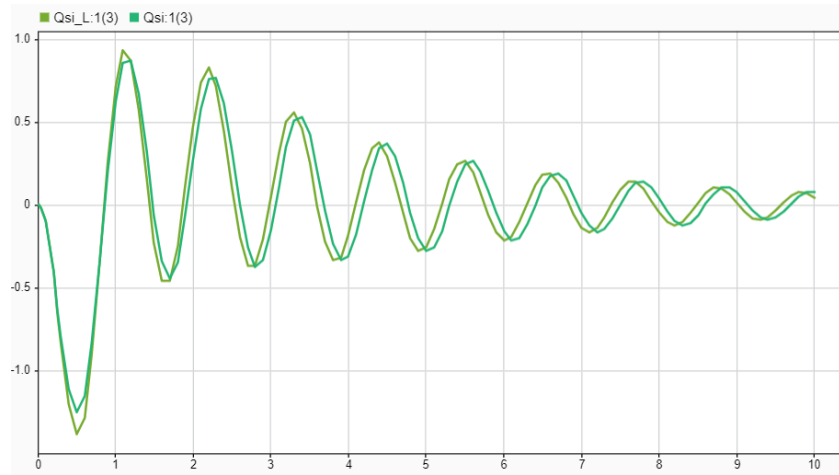


Figura 12: Gráfico em que Qsi_L (3) (em verde escuro) representa a curva de $\theta(t)$ no modelo linearizado, enquanto Qsi (3) (em verde claro) representa-o no modelo não linear.

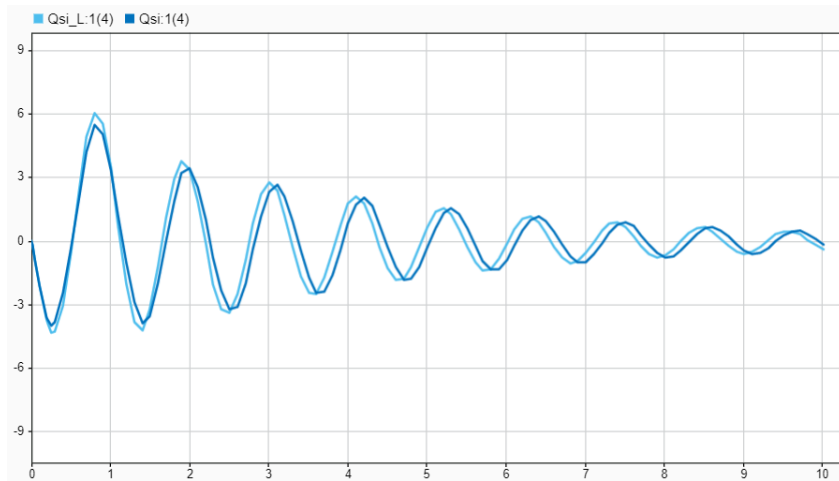


Gráfico 13: Gráfico em que Qsi_L (4) (em azul claro) é a curva de $\dot{\theta}(t)$ no sistema linear, e Qsi (4) (em azul escuro) é $\dot{\theta}(t)$ no não linear.

9.

Segurador de Ordem Zero (SOZ)

$$C_S(z) = (1 - z^{-1}) \cdot Z \left(\mathcal{L}^{-1} \left\{ \frac{C(s)}{s} \right\} \right) \Big|_{t=kT}$$

$$\mathcal{L}^{-1} \left\{ \frac{C(s)}{s} \right\} = \mathcal{L}^{-1} \left\{ \frac{9}{16} \cdot \frac{(s+16)}{s(s+3)} \right\} = 3 \cdot u(t) - \frac{39}{16} \cdot e^{-3t} \cdot u(t)$$

$$\mathcal{L}^{-1} \left\{ \frac{C(s)}{s} \right\} \Big|_{t=kT} = 3 \cdot u(kT) - \frac{39}{16} \cdot e^{-3kT} \cdot u(kT)$$

$$Z \left(\mathcal{L}^{-1} \left\{ \frac{C(s)}{s} \right\} \Big|_{t=kT} \right) = Z \left(3 \cdot u(kT) - \frac{39}{16} \cdot e^{-3kT} \cdot u(kT) \right) = 3 \cdot \frac{z}{z-1} - \frac{39}{16} \cdot \frac{z}{z-e^{-3T}}$$

Fazendo a simplificação $(1 - z^{-1}) = \frac{z-1}{z}$:

$$C_S(z) = \frac{z-1}{z} \cdot \left(3 \cdot \frac{z}{z-1} - \frac{39}{16} \cdot \frac{z}{z-e^{-3T}} \right)$$

$$C_S(z) = \frac{-48 + 39e^{3T} + 9e^{3T}z}{-16 + 16e^{3T}z}$$

MÉTODO DE TUSTIN

$$C_T(z) = C(s) \Big|_{s=\frac{2(z-1)}{T(z+1)}}$$

$$C_T(z) = \frac{9}{16} \cdot \frac{\left(\frac{2(z-1)}{T(z+1)} + 16 \right)}{\left(\frac{2(z-1)}{T(z+1)} + 3 \right)}$$

$$C_T(z) = \frac{(9 + 72T)z + 72T - 9}{(16 + 24T)z + 24T - 16}$$

MAPEAMENTO DE POLOS E ZEROS

$$C_M(z) = C(s) \Big|_{z=e^{sT}} \quad , \quad K_d = \frac{K_c}{\beta} \frac{(1 - e^{-\beta T})}{(1 - e^{-\alpha T})}$$

$$C_M(z) = K_d \cdot \frac{9}{16} \frac{(z - e^{-16T})}{(z - e^{-3T})} = \frac{16}{3} \frac{(1 - e^{-3T})}{(1 - e^{-16T})} \cdot \frac{9}{16} \frac{(z - e^{-16T})}{(z - e^{-3T})}$$

$$C_M(z) = \frac{3(1 - e^{-3T})(z - e^{-16T})}{(1 - e^{-16T})(z - e^{-3T})}$$

10.

O controlador digital discretizado pelo segurador de ordem zero para o período de amostragem de 0.1 segundos, 0.5 segundos e 1 segundo são, respectivamente:

$$C_{S_{0.1}} = \frac{0,563 \cdot z + 0,215}{z - 0,741} \quad C_{S_{0.5}} = \frac{0,563 \cdot z + 1,768}{z - 0,223} \quad C_{S_1} = \frac{0,563 \cdot z + 2,288}{z - 0,049}$$

O controlador digital discretizado pelo método de Tustin para o período de amostragem de 0.1 segundos, 0.5 segundos e 1 segundo são, respectivamente:

$$C_{T_{0.1}} = \frac{0,88 \cdot z - 0,098}{z - 0,739} \quad C_{T_{0.5}} = \frac{1,607 \cdot z + 0,9643}{z - 0,143} \quad C_{T_1} = \frac{2,025 \cdot z + 1,575}{z - 0,2}$$

O controlador digital discretizado pelo mapeamento dos polos e zeros para o período de amostragem de 0.1 segundos, 0.5 segundos e 1 segundo são, respectivamente:

$$C_{M_{0.1}} = \frac{0,974 \cdot z - 0,197}{z - 0,741} \quad C_{M_{0.5}} = \frac{2,331 \cdot z + 0,001}{z - 0,231} \quad C_{M_1} = \frac{2,851 \cdot z + 3,21 \cdot 10^{-7}}{z - 0,049}$$

Após conectar cada um dos controladores digitais no sistema linearizado por meio do Simulink do MATLAB, foram obtidas a saída do sistema amostrado e a tensão do motor para diferentes períodos de amostragens:

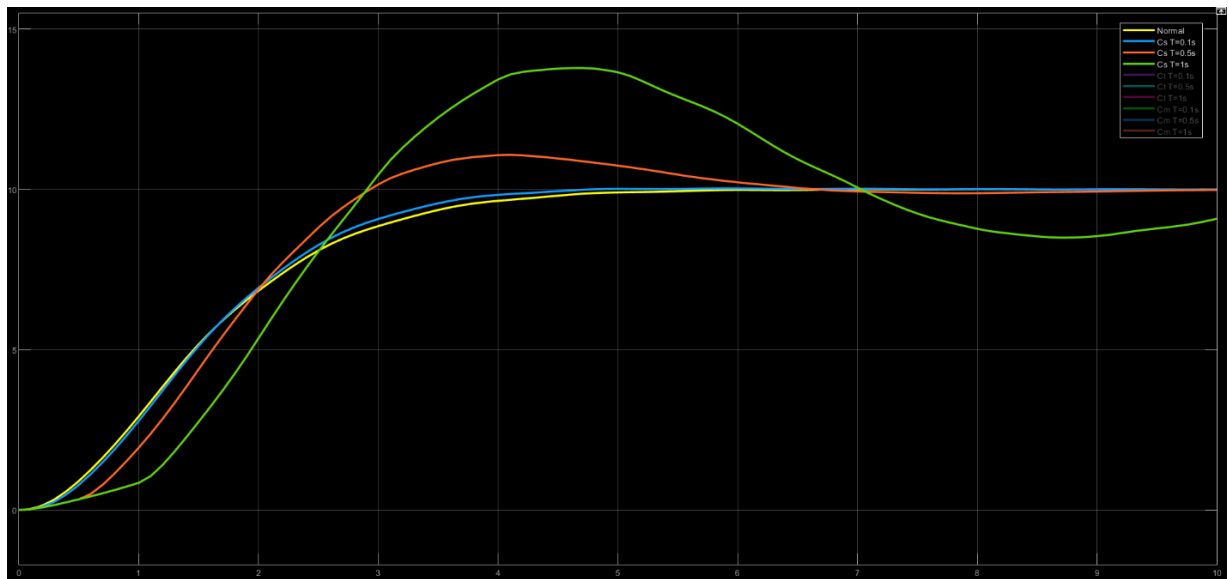


Figura 14: Saída do sistema amostrado em malha fechada com o controlador digital $C_S(z)$ para os períodos de amostragem de 0.1 segundos (curva azul), 0.5 segundos (curva laranja) e 1 segundo (curva verde). A curva amarela é a curva de saída do sistema linearizado com o controlador $C(s)$.

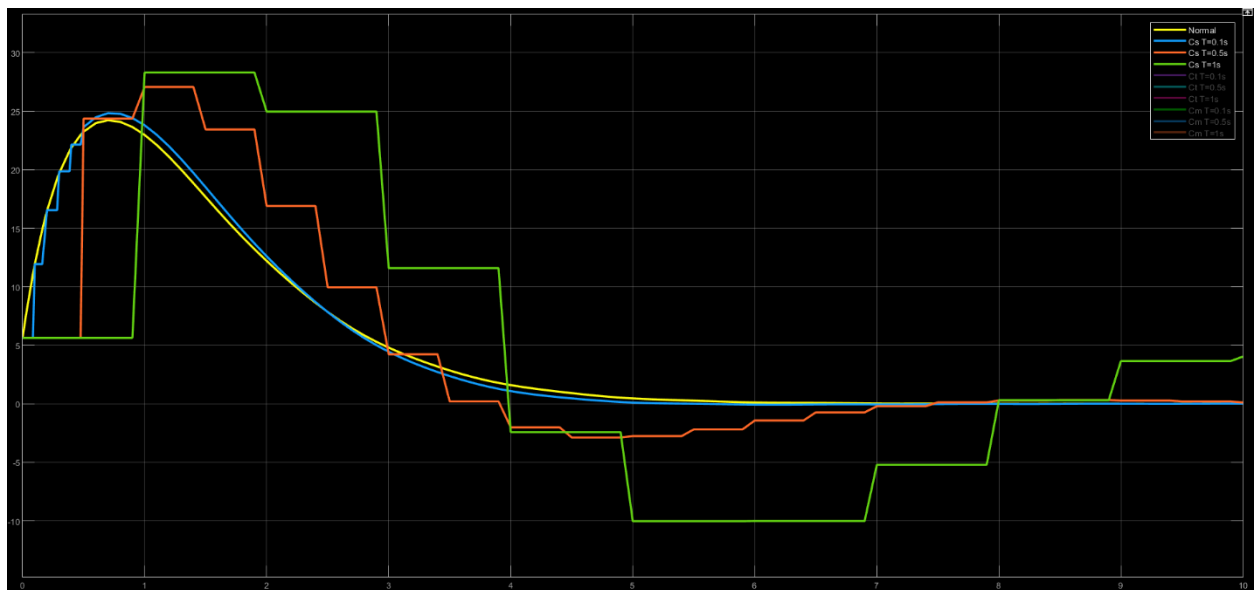


Figura 15: Tensão do motor em malha fechada com o controlador digital $C_S(z)$ para os períodos de amostragem de 0.1 segundos (curva azul), 0.5 segundos (curva laranja) e 1 segundo (curva verde). A curva amarela é a curva da tensão no sistema linearizado com o controlador $C(s)$.

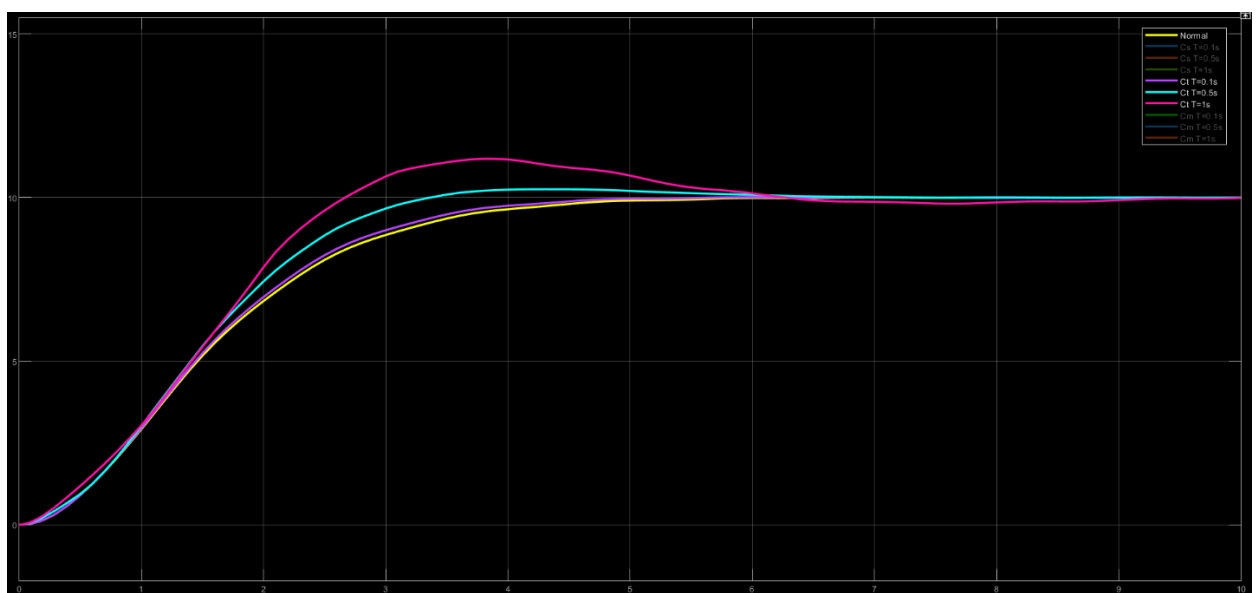


Figura 16: Saída do sistema amostrado em malha fechada com o controlador digital $C_T(z)$ para os períodos de amostragem de 0.1 segundos (curva roxa), 0.5 segundos (curva ciano) e 1 segundo (curva rosa). A curva amarela é a curva de saída do sistema linearizado com o controlador $C(s)$.

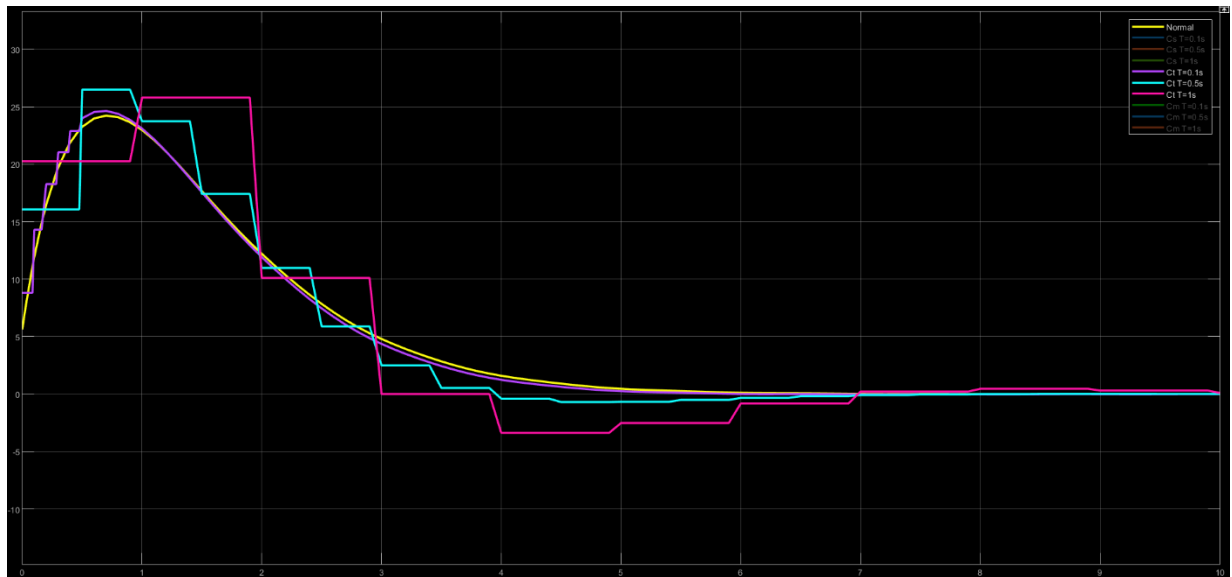


Figura 17: Tensão do motor em malha fechada com o controlador digital $C_T(z)$ para os períodos de amostragem de 0.1 segundos (curva roxa), 0.5 segundos (curva ciano) e 1 segundo (curva rosa). A curva amarela é a curva da tensão no sistema linearizado com o controlador $C(s)$.

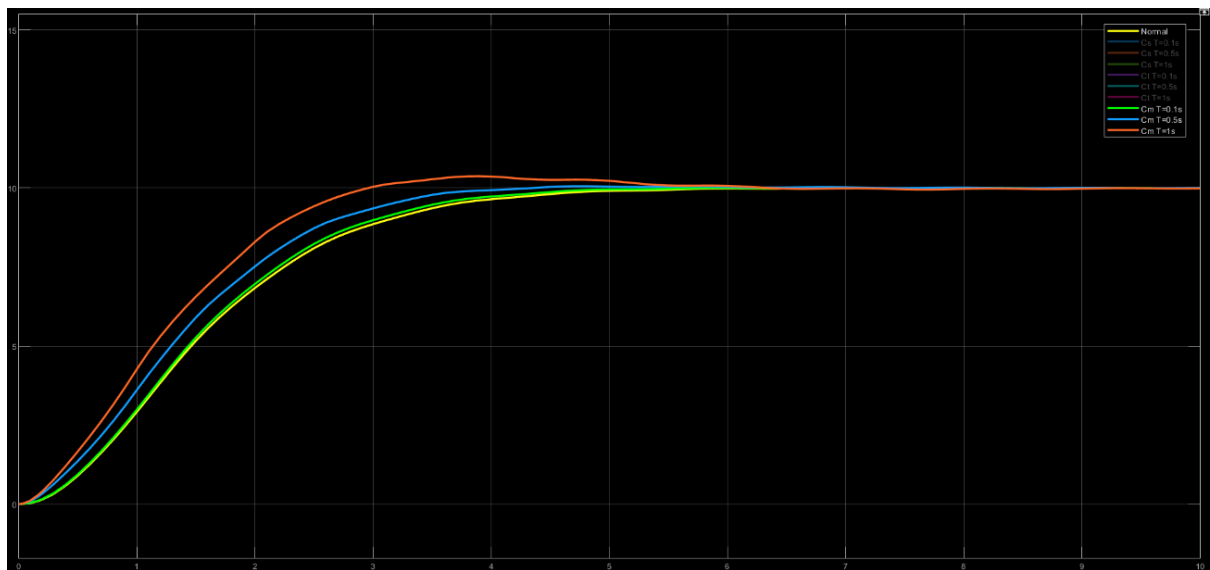


Figura 18: Saída do sistema amostrado em malha fechada com o controlador digital $C_M(z)$ para os períodos de amostragem de 0.1 segundos (curva verde claro), 0.5 segundos (curva azul) e 1 segundo (curva laranja). A curva amarela é a curva de saída do sistema linearizado com o controlador $C(s)$.

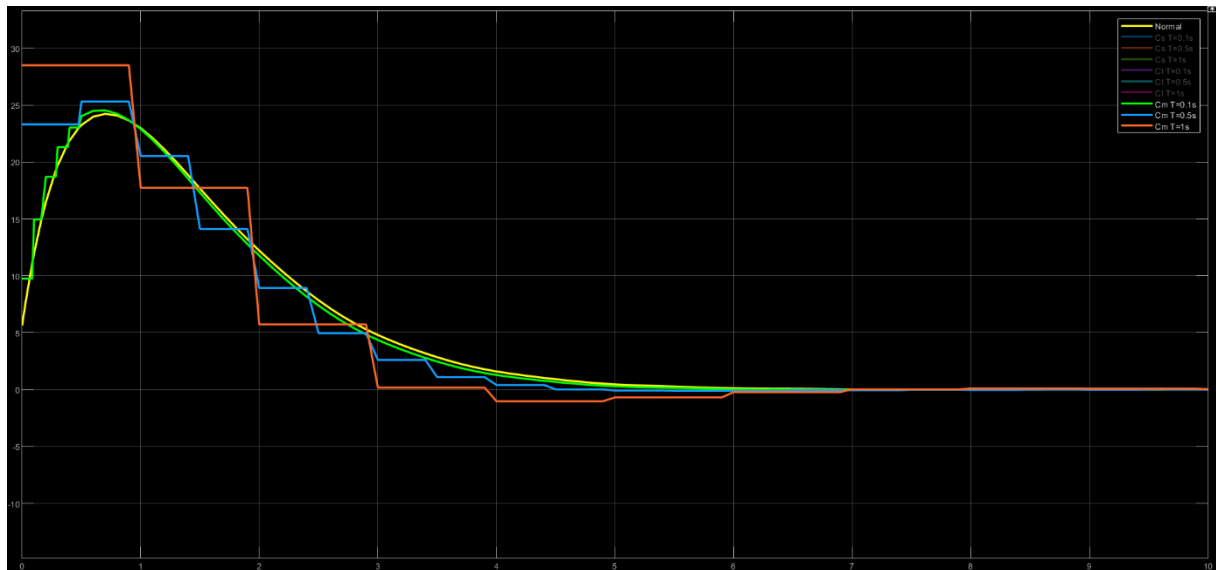


Figura 19: Tensão do motor em malha fechada com o controlador digital $C_M(z)$ para os períodos de amostragem de 0.1 segundos (curva verde), 0.5 segundos (curva azul) e 1 segundo (curva laranja). A curva amarela é a curva da tensão no sistema linearizado com o controlador $C(s)$.

Como pode ser confirmado nas figuras acima, à medida que o período de amostragem no controlador diminui, a curva de saída do sistema discreto se aproxima da curva do sistema contínuo. De fato, a curva cujo controlador tem o menor período de amostragem, 0.1 segundos, é a que mais se aproxima da curva amarela.

Ademais, as Figuras 20 e 21 apresentam um comparativo de desempenho entre os diferentes controladores $C_S(z)$, $C_T(z)$ e $C_M(z)$ para um mesmo período de amostragem de 0,1 segundos. Como pode ser observado, o controlador de melhor desempenho é aquele que foi discretizado pelo mapeamento de polos e zeros $C_M(z)$, mostrando uma melhor aproximação em relação ao método de Tustin e ao segurador de ordem zero.

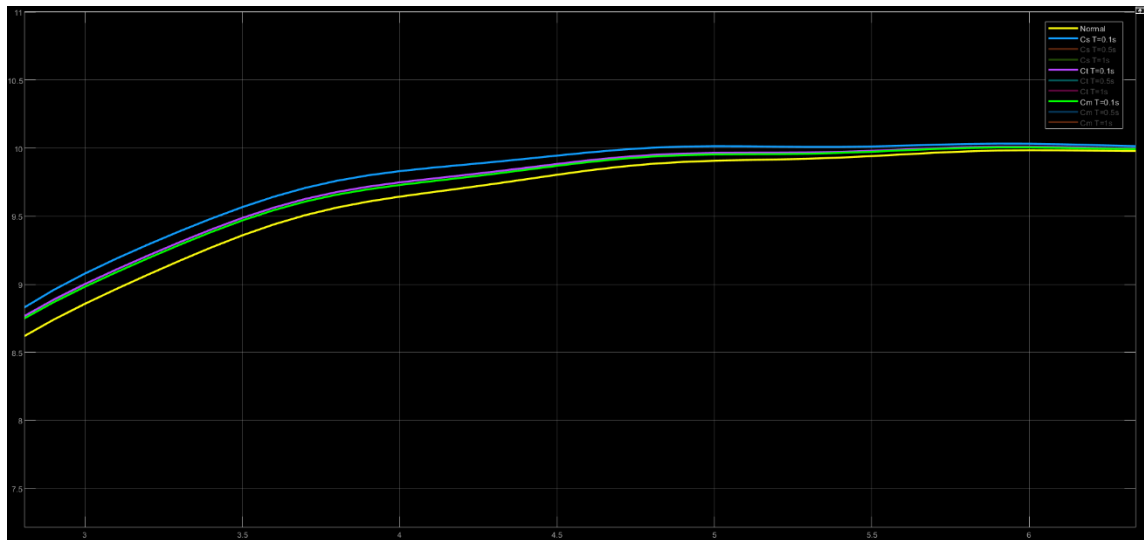


Figura 20: Saída do sistema amostrado em malha fechada com um período de amostragem de 0,1 segundos para os controladores digitais $C_M(z)$ (curva verde claro), $C_T(z)$ (curva roxa) e $C_M(z)$ (curva azul). A curva amarela é a curva de saída do sistema linearizado com o controlador $C(s)$.

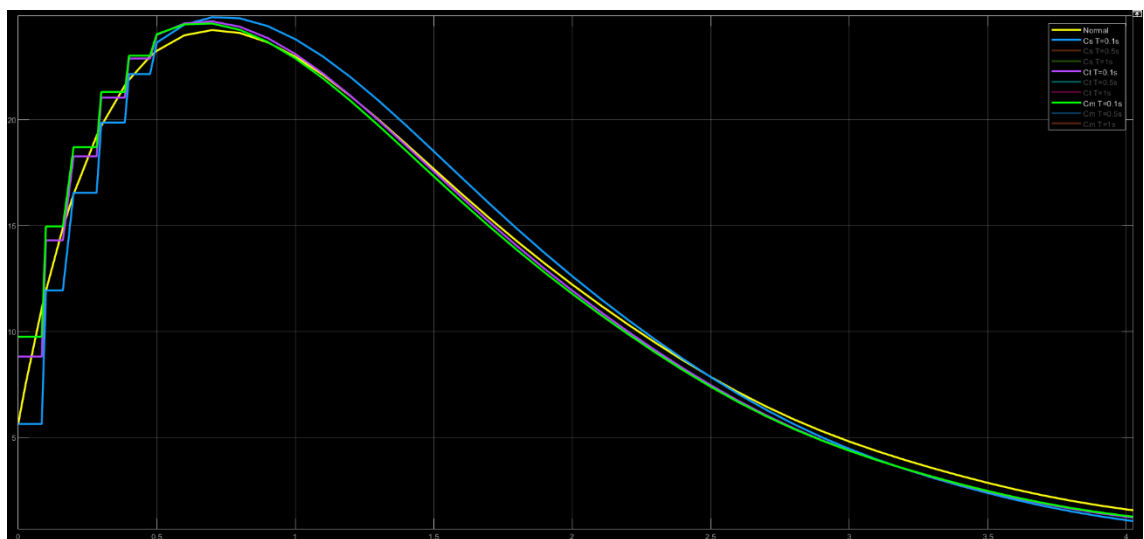


Figura 21: Tensão do motor em malha fechada com um período de amostragem de 0,1 segundos para os controladores digitais $C_M(z)$ (curva verde claro), $C_T(z)$ (curva roxa) e $C_M(z)$ (curva azul). A curva amarela é a curva de saída do sistema linearizado com o controlador $C(s)$.

11.

Por meio do Simulink MATLAB o controlador digital de melhor desempenho no sistema não linear é conectado, gerando as curvas de saída com os diferentes períodos de amostragem. Assim como foi observado no item 10, o controlador de melhor desempenho é o discretizado pelo mapeamento de polos e zeros $C_M(z)$.

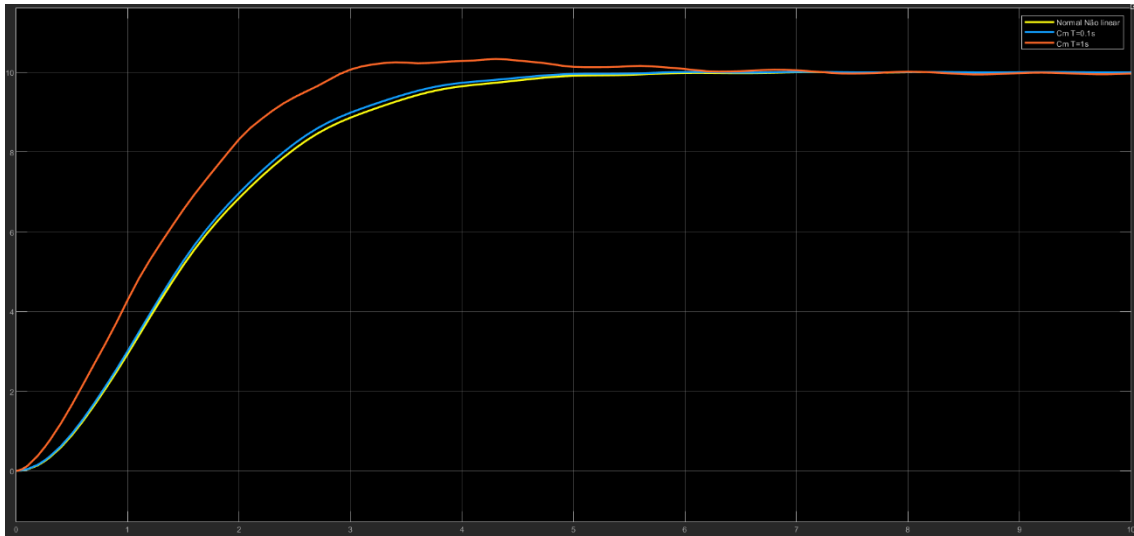


Figura 22: Saída do sistema amostrado em malha fechada com o controlador digital de melhor desempenho, $C_M(z)$, para os períodos de amostragem de 0,1 segundos (curva azul) e de 1 segundo (curva laranja). A curva amarela é a curva de saída do sistema linearizado com o controlador $C(s)$.

Assim como no sistema linearizado, o controlador discreto que mais se aproxima do controlador contínuo é aquele cujo período de amostragem é menor. Como pode ser observado na Figura 22, a curva do controlador cujo período de amostragem é de 0,1 segundos se assemelha mais com a curva do controlador contínuo $C(s)$.

12.

Para realizar o projeto do controlador digital para um período de amostragem de 1 segundo a planta $G(s)$ foi discretizada pelo método do segurador de ordem zero:

$$G_o(z) = \frac{0,15 \cdot z^3 - 0,153 \cdot z^2 + 0,028 \cdot z + 0,027}{z^4 - 2,34 \cdot z^3 + 1,947 \cdot z^2 - 0,615 \cdot z + 0,007}$$

Em seguida, foi aplicada a função sisotool do MATLAB na planta discretizada $G_o(z)$ e modificou o lugar das raízes, adicionando um polo e um zero nas melhores posições para obter um controlador digital com melhor desempenho em relação ao obtido no item 11. Assim, o controlador discreto, $C_d(z)$, obtido pelo lugar raízes da Figura 23 é:

$$C_d(z) = \frac{2,487 \cdot z - 0,004629}{z + 0,0134}$$

Como pode ser visto na Figura 24, o controlador $C_d(z)$ projetado é aceitável e respeita todos os requisitos de desempenho do item 5:

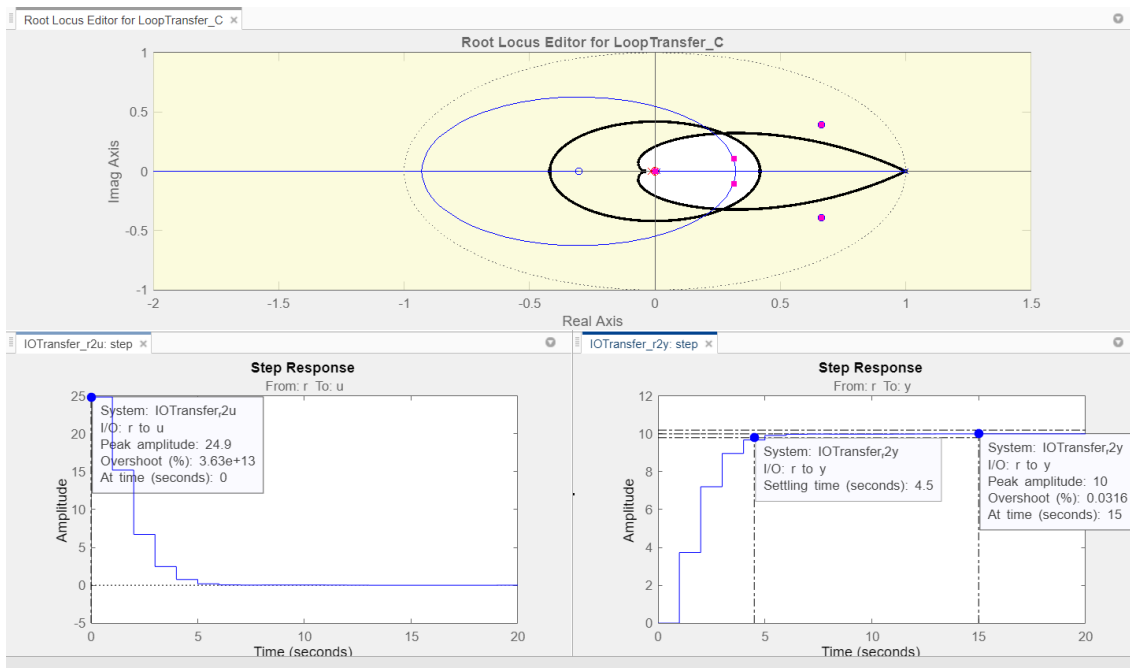


Figura 23: Gráfico do lugar das raízes para o sistema discreto e não linear, cuja planta é $G_o(z)$ e seu controlador é $C_d(z)$.

Após conectar este controlador e o controlador $C_M(z)$ obtido no item 11 no sistema não linear pelo Simulink MATLAB, foram plotadas as seguintes curvas:

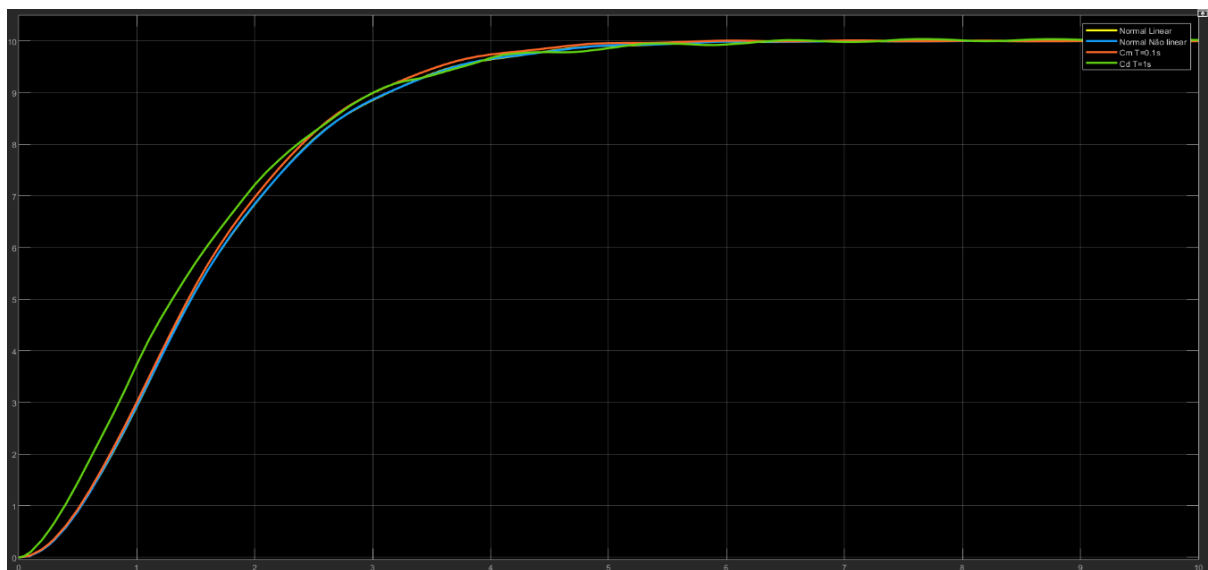


Figura 24: Saída do sistema não linear amostrado em malha fechada para o controlador $C_d(z)$ em $T = 1$ s (em verde), para $C_M(z)$ em $T = 0,1$ s (em laranja) e para o controlador contínuo $C(s)$ (em amarelo). Saída do sistema linear para o controlador contínuo $C(s)$ (em azul).

Como pode ser analisado na Figura 24, o controlador $C_d(z)$ (curva verde) é um bom controlador, pois sua respectiva curva se aproxima do controlador contínuo (curva azul) no sistema não linear, apesar de possuir um período de amostragem 10 vezes maior do que o controlador $C_M(z)$ (curva laranja).

13.

Aplicando o controlador digital $C_M(z)$ no sistema não linear, pode-se comparar as respostas obtidas pelo sistema discretizado não linear em relação ao contínuo não linear:

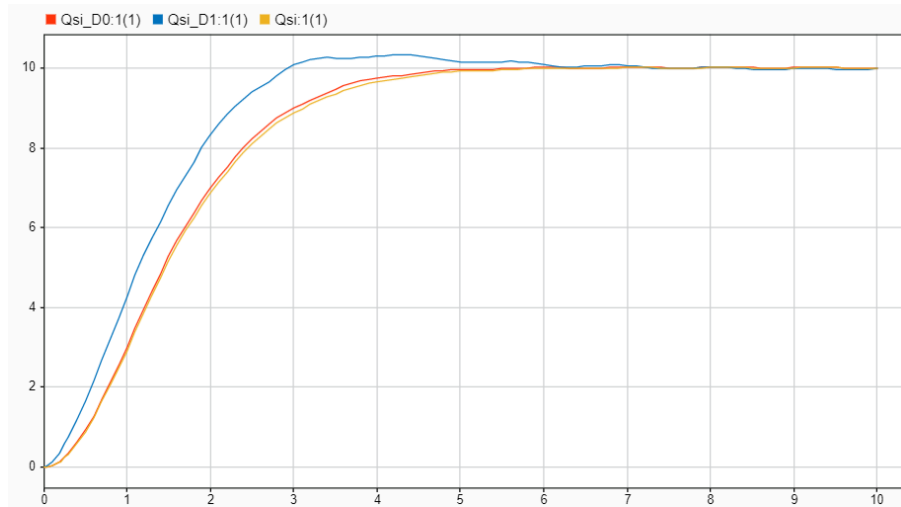


Figura 25: Gráfico em que Qsi_D0 (1) (em laranja) é $x(t)$ para o controlador $C_M(z)$ em $T = 0,1$ s. Qsi_D1 (1) (em azul) é $x(t)$ para o controlador $C_M(z)$ em $T = 1$ s. Qsi (1) (em amarelo) é $x(t)$ para o controlador contínuo não linear.

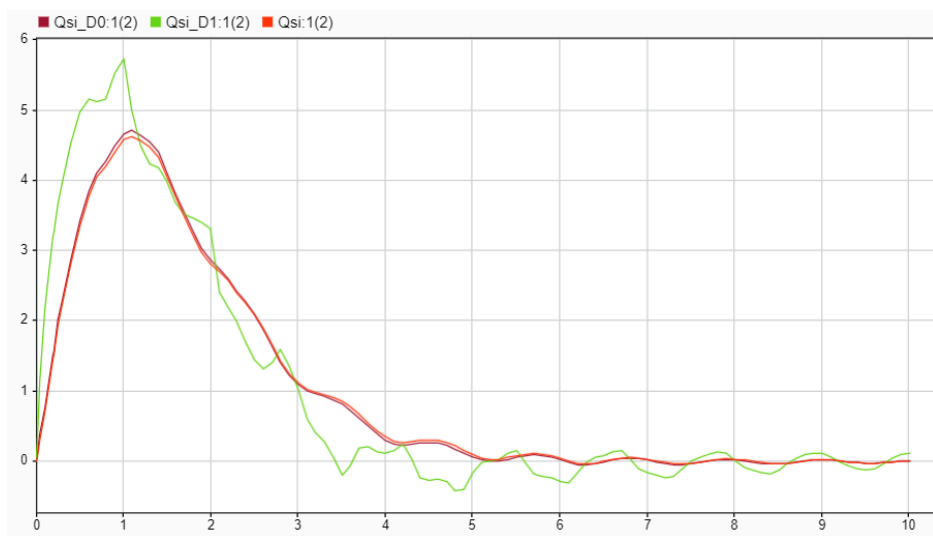


Figura 26: Gráfico em que Qsi_D0 (2) (em vinho) é $\dot{x}(t)$ para o controlador $C_M(z)$ em $T = 0,1$ s. Qsi_D1 (2) (em verde) é $\dot{x}(t)$ para o controlador $C_M(z)$ em $T = 1$ s. Qsi (2) (em laranja) é $\dot{x}(t)$ para o controlador contínuo não linear.

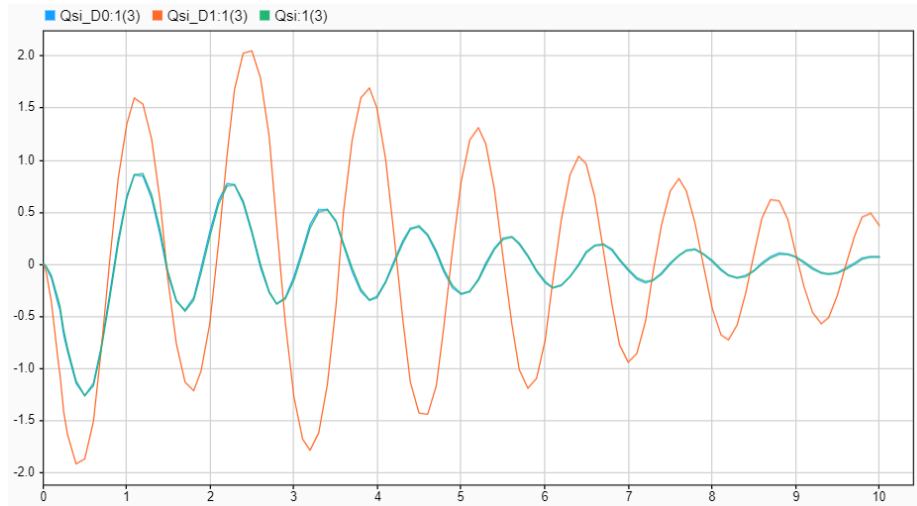


Figura 27: Gráfico em que Qsi_D0 (3) (em azul) é $\theta(t)$ para o controlador $C_M(z)$ em $T = 0,1$ s. Qsi_D1 (3) (em laranja) é $\theta(t)$ para o controlador $C_M(z)$ em $T = 1$ s. Qsi (3) (em verde) é $\theta(t)$ para o controlador contínuo não linear.

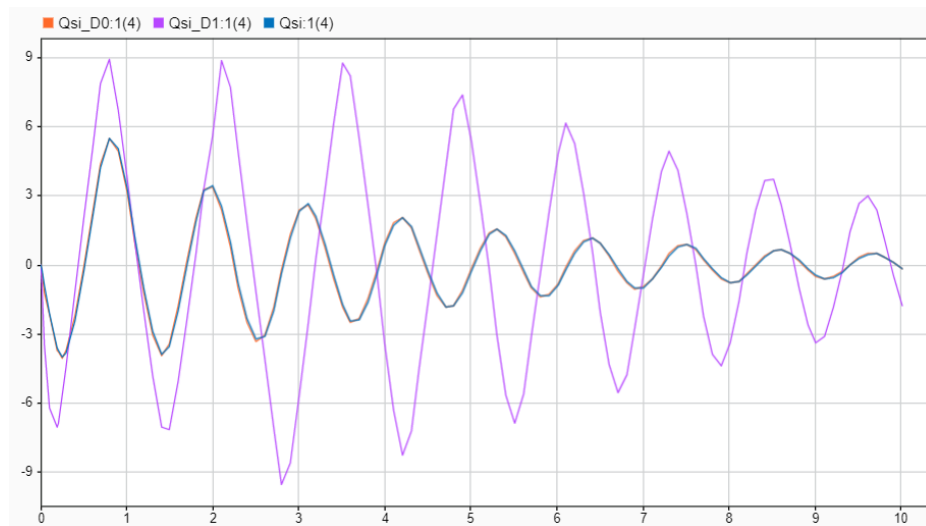


Figura 28: Gráfico em que Qsi_D0 (4) (em laranja) é $\theta(t)$ para o controlador $C_M(z)$ em $T = 0,1$ s. Qsi_D1 (4) (em roxo) é $\theta(t)$ para o controlador $C_M(z)$ em $T = 1$ s. Qsi (4) (em azul) é $\theta(t)$ para o controlador contínuo não linear.

Aplicando o controlador digital $C_d(z)$ no sistema não linear, pode-se comparar as respostas obtidas pelo sistema discretizado não linear do item 12 em relação ao obtido no item 11, ao contínuo não linear e ao contínuo linear:

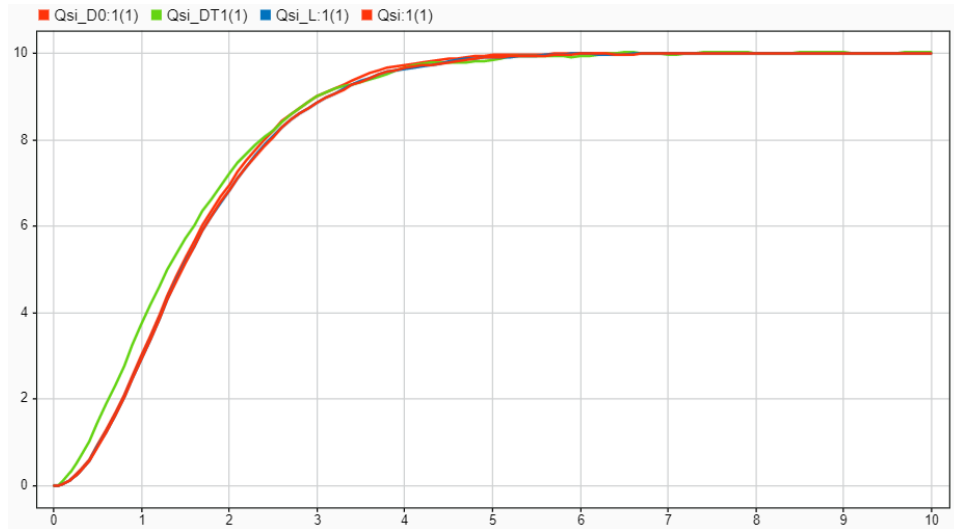


Figura 29: Gráfico em que $Qsi_D0(0)$ (em laranja) é $x(t)$ para o controlador $C_M(z)$ em $T = 0,1$ s. $Qsi_DT1(0)$ (em verde) é $x(t)$ para o controlador $C_d(z)$ em $T = 1$ s. $Qsi_L(0)$ (em azul) é $x(t)$ para o controlador contínuo linear. $Qsi(0)$ (em vermelho) é $x(t)$ para o controlador contínuo não linear.

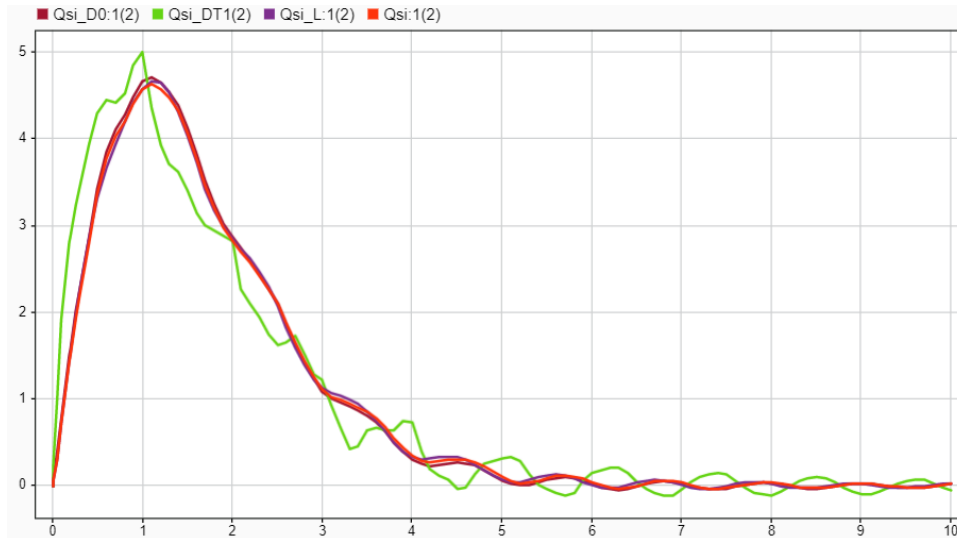


Figura 30: Gráfico em que $Qsi_D0(2)$ (em vinho) é $\dot{x}(t)$ para o controlador $C_M(z)$ em $T = 0,1$ s. $Qsi_DT1(2)$ (em verde) é $\dot{x}(t)$ para o controlador $C_d(z)$ em $T = 1$ s. $Qsi_L(2)$ (em roxo) é $\dot{x}(t)$ para o controlador contínuo linear. $Qsi(2)$ (em laranja) é $\dot{x}(t)$ para o controlador contínuo não linear.

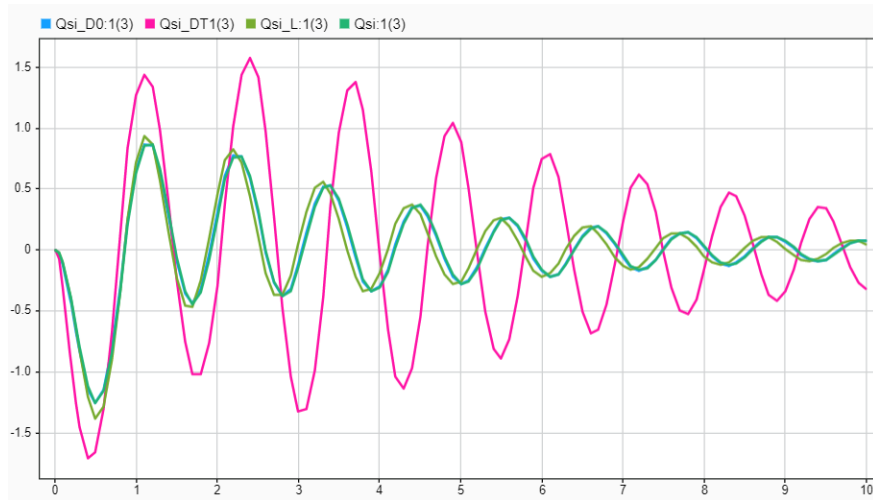


Figura 31: Gráfico em que Qsi_D0 (3) (em azul) é $\theta(t)$ para o controlador $C_M(z)$ em $T = 0,1$ s. Qsi_DT1 (3) (em rosa) é $\theta(t)$ para o controlador $C_d(z)$ em $T = 1$ s. Qsi_L (3) (em verde escuro) é $\theta(t)$ para o controlador contínuo linear. Qsi (3) (em verde claro) é $\theta(t)$ para o controlador contínuo não linear.

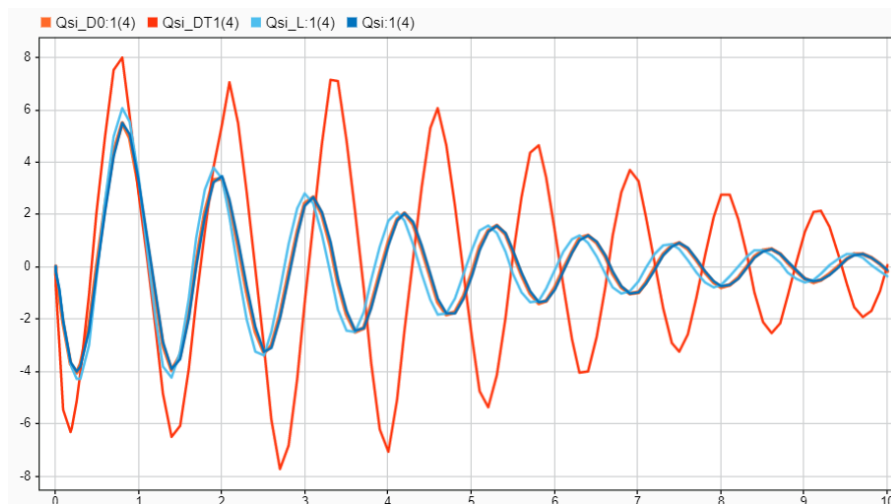


Figura 32: Gráfico em que Qsi_D0 (4) (em laranja) é $\dot{\theta}(t)$ para o controlador $C_M(z)$ em $T = 0,1$ s. Qsi_DT1 (4) (em vermelho) é $\dot{\theta}(t)$ para o controlador $C_d(z)$ em $T = 1$ s. Qsi_L (4) (em azul claro) é $\dot{\theta}(t)$ para o controlador contínuo linear. Qsi (4) (em azul escuro) é $\dot{\theta}(t)$ para o controlador contínuo não linear.